

# Biomathématiques 1

## Modélisation par EDO en Science la Vie

### Modèles dans $\mathbb{R}^2$

**Sandrine CHARLES & Laurent PUJO MENJOUET**

sandrine.charles@univ-lyon1.fr

pujo@math.univ-lyon1.fr

D'après un document de Sylvain MOUSSET

-

Université Claude Bernard Lyon 1 – France

13 décembre 2020

# Table des matières

Introduction : le modèle proies-prédateurs de Lotka-Volterra

Les systèmes linéaires dans  $\mathbb{R}^2$

Étude qualitative des systèmes non linéaires dans  $\mathbb{R}^2$

## Plan détaillé

### Introduction : le modèle proies-prédateurs de Lotka-Volterra

Les équations du modèle

Portrait de phase

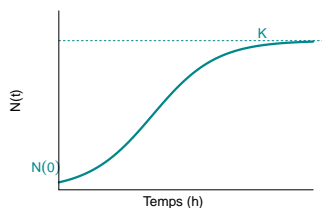
Définitions

# Le modèle proies-prédateurs de Lotka-Volterra

En l'absence d'interaction

## Les proies $N$

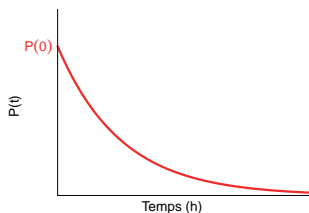
- ▶ croissance logistique, paramètres  $r$  et  $K$ .



$$\frac{dN}{dt} = rN \left( 1 - \frac{N}{K} \right)$$

## Les prédateurs $P$

- ▶ décroissance exponentielle, paramètre  $\mu$ .



$$\frac{dP}{dt} = -\mu P$$

# Le modèle proies-prédateurs de Lotka-Volterra

## Avec les interactions proies-prédateurs

Si les déplacements de proies et prédateurs se font au hasard, alors le nombre de rencontres entre proies et prédateurs est proportionnel au produit  $NP$ .

### Les proies $N$

- ▶ Consommation à la vitesse  $\alpha NP$ .
- ▶  $\alpha$  caractérise l'efficacité des attaques des prédateurs.

### Les prédateurs

- ▶ Reproduction à la vitesse  $\beta NP$ .
- ▶  $\beta$  caractérise le rendement des attaques en termes de reproduction des prédateurs.

# Le modèle proies-prédateurs de Lotka-Volterra

## Les équations du modèle

On a le système de deux EDO du premier ordre suivant :

$$\begin{cases} \frac{dN}{dt} = rN\left(1 - \frac{N}{K}\right) - \alpha NP \\ \frac{dP}{dt} = -\mu P + \beta NP \end{cases}$$

avec les variables  $N(t)$  et  $P(t)$ .

Dans le plan  $(N, P)$ , on peut étudier le signe de  $\frac{dN}{dt}$  et  $\frac{dP}{dt}$ , et donc les variations de  $N(t)$  et  $P(t)$ .

C'est ce qu'on appelle le **portrait de phase**.

## Plan détaillé

### Introduction : le modèle proies-prédateurs de Lotka-Volterra

Les équations du modèle

Portrait de phase

Définitions

## Portrait de phase

Signe de  $\frac{dN}{dt}$

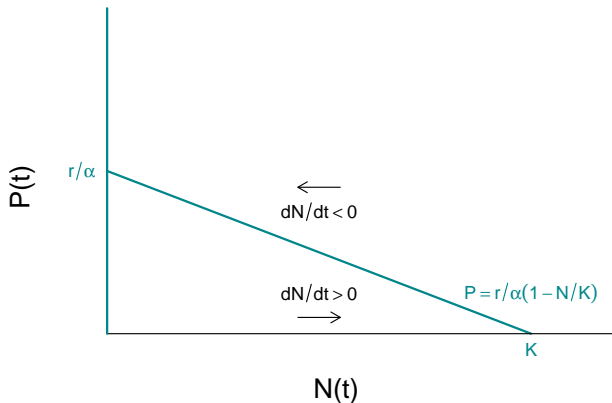
L'évolution du nombre de proies dépend du signe de  $\frac{dN}{dt}$  :  
 $\frac{dN}{dt} = rN\left(1 - \frac{N}{K}\right) - \alpha NP$  avec  $N, P > 0$

$$\begin{aligned}\frac{dN}{dt} > 0 &\Leftrightarrow rN\left(1 - \frac{N}{K}\right) - \alpha NP > 0 \\ &\Leftrightarrow N\left(r - \frac{rN}{K} - \alpha P\right) > 0 \\ &\Leftrightarrow P < \frac{r}{\alpha}\left(1 - \frac{N}{K}\right)\end{aligned}$$

$$\frac{dN}{dt} = 0 \text{ pour } N = 0 \text{ et } P = \frac{r}{\alpha}\left(1 - \frac{N}{K}\right).$$

## Portrait de phase

Signe de  $\frac{dN}{dt}$



## Portrait de phase

Signe de  $\frac{dP}{dt}$

L'évolution du nombre de prédateurs dépend du signe de  $\frac{dP}{dt}$  :

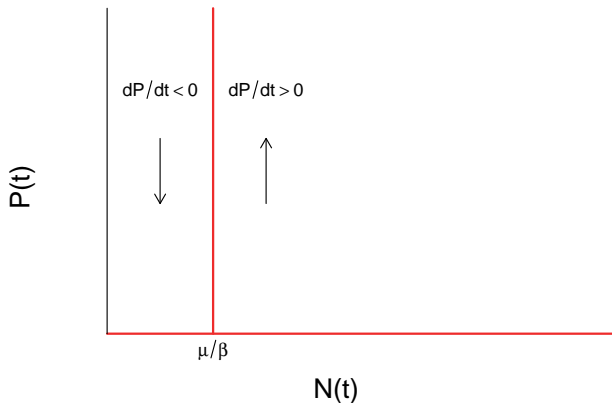
$$\frac{dP}{dt} = -\mu P + \beta NP \text{ avec } N, P > 0.$$

$$\begin{aligned} \frac{dP}{dt} > 0 &\Leftrightarrow -\mu P + \beta NP > 0 \\ &\Leftrightarrow P(\beta N - \mu) > 0 \\ &\Leftrightarrow N > \frac{\mu}{\beta} \end{aligned}$$

$$\frac{dP}{dt} = 0 \text{ pour } P = 0 \text{ et } N = \frac{\mu}{\beta}.$$

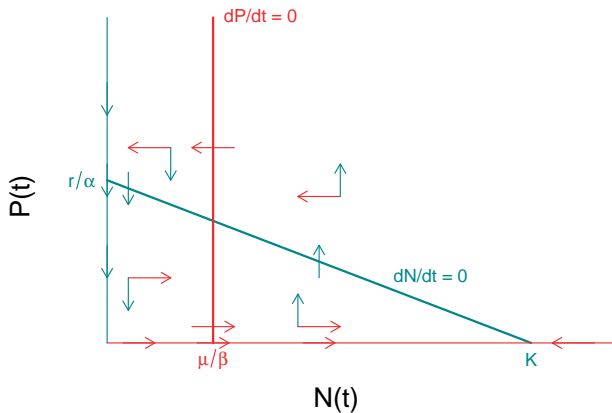
## Portrait de phase

Signe de  $\frac{dP}{dt}$



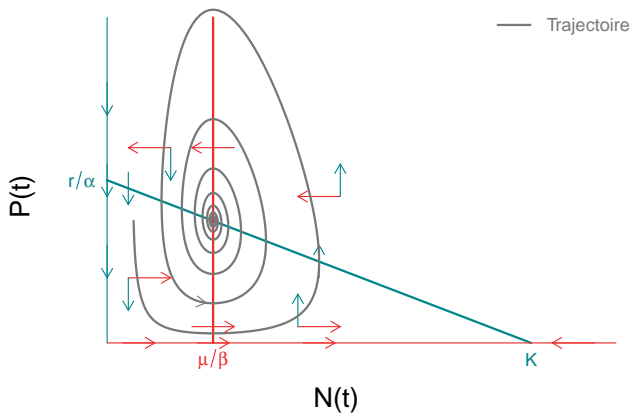
# Portrait de phase

Vecteurs vitesse : on combine l'information

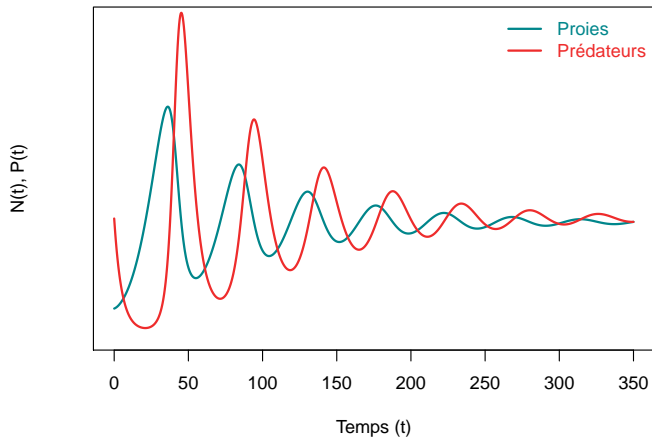


# Portrait de phase

## Dynamique du système



## Chroniques



## Plan détaillé

### Introduction : le modèle proies-prédateurs de Lotka-Volterra

Les équations du modèle

Portrait de phase

Définitions

## Point d'équilibre

Soit un système dynamique d'EDO tel que

$$\begin{cases} \frac{dx}{dt} = f(x, y) \\ \frac{dy}{dt} = g(x, y) \end{cases}$$

avec  $x(t)$  et  $y(t)$  les variables.

Un point d'équilibre de ce système est un point  $(x^*, y^*)$  qui vérifie :

$$\begin{cases} \left. \frac{dx}{dt} \right|_{x=x^*, y=y^*} = f(x^*, y^*) = 0 \\ \left. \frac{dy}{dt} \right|_{x=x^*, y=y^*} = g(x^*, y^*) = 0 \end{cases}$$

## Portrait de phase

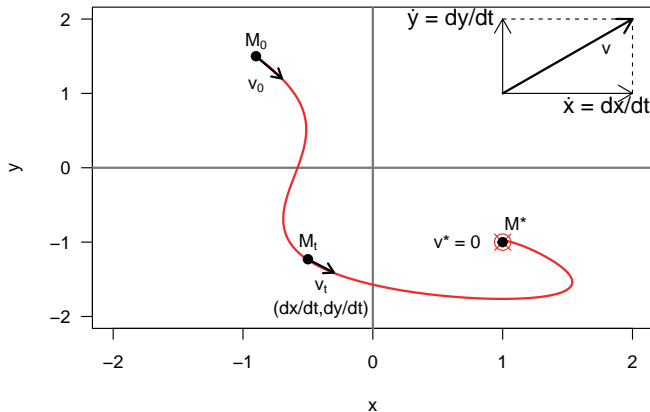
Soit un système dynamique d'EDO tel que

$$\begin{cases} \frac{dx}{dt} = f(x, y) \\ \frac{dy}{dt} = g(x, y) \end{cases}$$

- ▶ On appelle **plan de phase** le plan  $(x, y)$  ;
- ▶ La représentation des solutions  $(x(t), y(t))$  lorsque  $t$  varie de 0 à  $+\infty$  dans le plan de phase est le **portrait de phase** ;
- ▶ En tout point du plan de phase  $(x, y) \neq (x^*, y^*)$ , il ne passe qu'une seule trajectoire (système autonome) ;
- ▶ Lorsque  $t$  varie,  $x(t)$  et  $y(t)$  varient également, donc un point  $\mathbf{M}(x(t), y(t))$  se déplace dans le plan  $(x, y)$  selon une certaine **trajectoire** définie à partir de la condition initiale  $\mathbf{M}_0(x(0), y(0))$ .

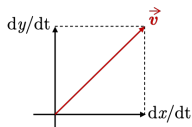
## Portrait de phase

On peut définir en chaque point de la trajectoire un vecteur vitesse  $\vec{v}$  de coordonnées  $(\frac{dx}{dt}, \frac{dy}{dt})$  qui est tangent à la trajectoire et orienté dans le sens de parcours de celle-ci. Les points d'équilibre sont tels que  $\vec{v} = 0$ .



## Isoclines nulles

Soit un système dynamique tel que  $\frac{dx}{dt} = f(x, y)$  et  $\frac{dy}{dt} = g(x, y)$ .



Les isoclines nulles de ce système sont l'ensemble des points du plan qui vérifient :

$$\frac{dx}{dt} = f(x, y) = 0 (\uparrow) \quad \text{ou} \quad \frac{dy}{dt} = g(x, y) = 0 (\rightarrow)$$

Dans le plan de phase  $(x, y)$ , on parle d'**isoclines verticales**  $\left(\frac{dx}{dt} = 0\right)$  ou d'**isoclines horizontales**  $\left(\frac{dy}{dt} = 0\right)$ , selon la direction des vecteurs vitesse le long de ces isoclines.

# Table des matières

Introduction : le modèle proies-prédateurs de Lotka-Volterra

Les systèmes linéaires dans  $\mathbb{R}^2$

Étude qualitative des systèmes non linéaires dans  $\mathbb{R}^2$

## Plan détaillé

### Les systèmes linéaires dans $\mathbb{R}^2$

Définitions

Équation caractéristique

Typologie des systèmes linéaires

En résumé

## Système linéaire

### Définition

On utilisera ici les variables  $u(t)$  et  $v(t)$ .

Dans un système d'EDO linéaire de  $\mathbb{R}^2$ , les fonctions  $f$  et  $g$  sont linéaires en  $u$  et  $v$ . Il s'écrit sous la forme :

$$\begin{cases} \frac{du}{dt} = a_{11}u + a_{12}v \\ \frac{dv}{dt} = a_{21}u + a_{22}v \end{cases}$$

## Système linéaire

### Écriture matricielle

Soit un système linéaire du type

$$\begin{cases} \frac{du}{dt} = a_{11}u + a_{12}v \\ \frac{dv}{dt} = a_{21}u + a_{22}v \end{cases}$$

Ce système est équivalent à l'écriture matricielle  $\frac{d\mathbf{U}}{dt} = \mathbf{M}\mathbf{U}$  avec

$$\mathbf{M} = \begin{pmatrix} \mathbf{a}_{11} & \mathbf{a}_{12} \\ \mathbf{a}_{21} & \mathbf{a}_{22} \end{pmatrix} \quad \mathbf{U}(t) = \begin{pmatrix} u(t) \\ v(t) \end{pmatrix} \quad \frac{d\mathbf{U}}{dt} = \begin{pmatrix} \frac{du(t)}{dt} \\ \frac{dv(t)}{dt} \end{pmatrix}$$

$\mathbf{M}$  est la "matrice Jacobienne" du système.

Dans ce cours, nous ne verrons que les cas où  $\det(\mathbf{M}) \neq 0$ .

## Système linéaire

### Point d'équilibre

Soit un système linéaire du type  $\frac{d\mathbf{U}}{dt} = \mathbf{M}\mathbf{U}$ , c'est-à-dire :

$$\begin{cases} \frac{du}{dt} = a_{11}u + a_{12}v \\ \frac{dv}{dt} = a_{21}u + a_{22}v \end{cases}$$

Le(s) point(s) d'équilibre vérifie(nt) :

$$\begin{cases} \frac{du}{dt} = 0 \\ \frac{dv}{dt} = 0 \end{cases} \Leftrightarrow \mathbf{M}\mathbf{U}^* = \mathbf{0} \Leftrightarrow \mathbf{U}^* = \mathbf{0}$$

Puisque  $\det(\mathbf{M}) \neq \mathbf{0}$ , alors  $\mathbf{M}$  est inversible et l'équation  $\mathbf{M}\mathbf{U}^* = \mathbf{0}$  admet une unique solution :  $\mathbf{U}^* = \mathbf{0}$ .

Le **seul** point d'équilibre est donc le point de coordonnées  $(0,0)$ .

## Plan détaillé

### Les systèmes linéaires dans $\mathbb{R}^2$

Définitions

Équation caractéristique

Typologie des systèmes linéaires

En résumé

## Équation caractéristique (1)

Soit un système linéaire du type  $\frac{d\mathbf{U}}{dt} = \mathbf{M}\mathbf{U}$  admettant la matrice Jacobienne

$$\mathbf{M} = \begin{pmatrix} a_{11} & a_{12} \\ a_{21} & a_{22} \end{pmatrix}$$

Les valeurs propres de  $\mathbf{M}$  sont les solutions de l'équation caractéristique :

$$\det(\mathbf{M} - \lambda\mathbf{I}) = 0 \Leftrightarrow \begin{vmatrix} a_{11} - \lambda & a_{12} \\ a_{21} & a_{22} - \lambda \end{vmatrix} = 0$$

$$\Leftrightarrow (a_{11} - \lambda)(a_{22} - \lambda) - a_{12}a_{21} = 0$$

$$\Leftrightarrow \lambda^2 - (a_{11} + a_{22})\lambda + (a_{11}a_{22} - a_{12}a_{21}) = 0$$

$$\Leftrightarrow \lambda^2 - \text{tr}(\mathbf{M})\lambda + \det(\mathbf{M}) = 0$$

## Petit rappel sur les valeurs propres

- ▶ Si  $\mathbf{M}$  admet deux valeurs propres réelles distinctes  $\lambda_1$  et  $\lambda_2$  :

$$\lambda^2 - \text{tr}(\mathbf{M})\lambda + \det(\mathbf{M}) = \mathbf{0} \Leftrightarrow (\lambda - \lambda_1)(\lambda - \lambda_2) = \mathbf{0}$$

$$\lambda^2 - \text{tr}(\mathbf{M})\lambda + \det(\mathbf{M}) = \mathbf{0} \Leftrightarrow \lambda^2 - (\lambda_1 + \lambda_2)\lambda + \lambda_1\lambda_2 = \mathbf{0}$$

On aura donc 
$$\begin{cases} \text{tr}(\mathbf{M}) = \lambda_1 + \lambda_2 \\ \det(\mathbf{M}) = \lambda_1\lambda_2 \end{cases}$$

- ▶ Si  $\mathbf{M}$  admet une valeur propre double, on aura

$$\begin{cases} \text{tr}(\mathbf{M}) = 2\lambda_0 \\ \det(\mathbf{M}) = \lambda_0^2 > \mathbf{0} \end{cases} .$$

- ▶ Si  $\mathbf{M}$  admet deux valeurs propres complexes conjuguées

$$\lambda_{1,2} = \alpha \pm i\beta, \text{ on aura } \begin{cases} \text{tr}(\mathbf{M}) = 2\alpha \\ \det(\mathbf{M}) = \alpha^2 + \beta^2 > \mathbf{0} \end{cases}$$

## Équation caractéristique (2)

Soit un système linéaire du type  $\frac{d\mathbf{U}}{dt} = \mathbf{M}\mathbf{U}$  admettant la matrice Jacobienne

$$\mathbf{M} = \begin{pmatrix} a_{11} & a_{12} \\ a_{21} & a_{22} \end{pmatrix}$$

La nature des solutions de  $\frac{d\mathbf{U}}{dt} = \mathbf{M}\mathbf{U}$  va dépendre des valeurs propres de  $\mathbf{M}$  et donc du **signe du discriminant** de l'équation caractéristique  $\lambda^2 - \text{tr}(\mathbf{M})\lambda + \det(\mathbf{M}) = 0$

$$\Delta = (\text{tr}(\mathbf{M}))^2 - 4 \det(\mathbf{M})$$

On va devoir distinguer trois cas :  $\Delta > 0$ ,  $\Delta = 0$  et  $\Delta < 0$ .

## Plan détaillé

### Les systèmes linéaires dans $\mathbb{R}^2$

Définitions

Équation caractéristique

Typologie des systèmes linéaires

En résumé

## Introduction

On considère le système

$$\frac{d\mathbf{U}}{dt} = \mathbf{M}\mathbf{U} \quad \text{avec} \quad \mathbf{M} = \begin{pmatrix} \mathbf{a}_{11} & \mathbf{a}_{12} \\ \mathbf{a}_{21} & \mathbf{a}_{22} \end{pmatrix}$$

Les valeurs propres de  $\mathbf{M}$  sont les solutions de l'équation caractéristique  $\lambda^2 - \text{tr}(\mathbf{M})\lambda + \det(\mathbf{M}) = 0$ .

→ L'allure des solutions  $\mathbf{U}(t)$  va dépendre de la nature des valeurs propres de  $\mathbf{M}$  donc du signe de  $\Delta = \text{tr}(\mathbf{M})^2 - 4\det(\mathbf{M})$ .

## Allure des solutions - Éléments d'explication

Selon la nature des valeurs propres de  $\mathbf{M}$ , on peut lui associer l'une des 4 formes de Jordan suivantes :

$$\mathbf{J} = \begin{pmatrix} \lambda_1 & 0 \\ 0 & \lambda_2 \end{pmatrix} \text{ si } \Delta > 0 \quad \mathbf{J} = \begin{pmatrix} \alpha & -\beta \\ \beta & \alpha \end{pmatrix} \text{ si } \Delta < 0$$

avec  $\lambda_{1,2} = \alpha \pm i\beta$

$$\mathbf{J} = \begin{pmatrix} \lambda_0 & 0 \\ 0 & \lambda_0 \end{pmatrix} \quad \text{ou} \quad \mathbf{J} = \begin{pmatrix} \lambda_0 & 1 \\ 0 & \lambda_0 \end{pmatrix} \text{ si } \Delta = 0$$

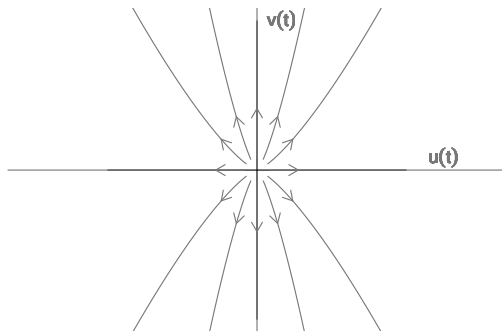
Le système  $\frac{d\mathbf{U}}{dt} = \mathbf{M}\mathbf{U}$  est alors équivalent à  $\frac{d\mathbf{Y}}{dt} = \mathbf{J}\mathbf{Y}$ , avec

$\mathbf{Y}(t) = \begin{pmatrix} y_1(t) \\ y_2(t) \end{pmatrix}$ . Si  $\Delta > 0$ , chacune des deux équations s'écrit

$\frac{dy_i(t)}{dt} = \lambda_i y_i(t)$  dont la solution est  $y_i(t) = y_i(0)e^{\lambda_i t}$ . Ainsi, les solutions  $u(t)$  et  $v(t)$  seront une combinaison linéaire des  $e^{\lambda_i t}$ .

## $\Delta > 0$ : $\mathbf{M}$ a 2 valeurs propres réelles distinctes **positives**

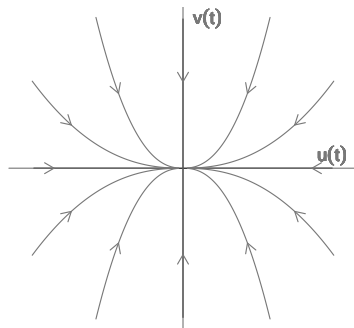
$\lambda_1 > 0$  et  $\lambda_2 > 0$  :  $\lim_{t \rightarrow +\infty} e^{\lambda_1 t} = \lim_{t \rightarrow +\infty} e^{\lambda_2 t} = +\infty$ .  
 $\Rightarrow (0,0)$  est un **noeud instable**



## $\Delta > 0$ : $\mathbf{M}$ a 2 valeurs propres réelles distinctes **négatives**

$$\lambda_1 < 0 \text{ et } \lambda_2 < 0 : \lim_{t \rightarrow +\infty} e^{\lambda_1 t} = \lim_{t \rightarrow +\infty} e^{\lambda_2 t} = 0.$$

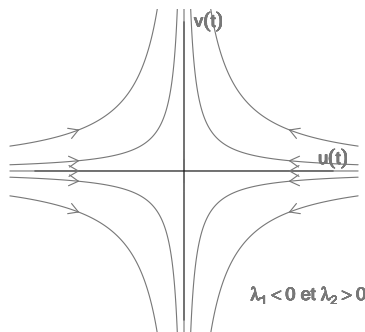
$\Rightarrow (0,0)$  est un **noeud asymptotiquement stable**



## $\Delta > 0$ : $\mathbf{M}$ a 2 valeurs propres réelles distinctes de signe opposé

$(\lambda_1 < 0 \text{ et } \lambda_2 > 0)$  ou  $(\lambda_1 > 0 \text{ et } \lambda_2 < 0)$

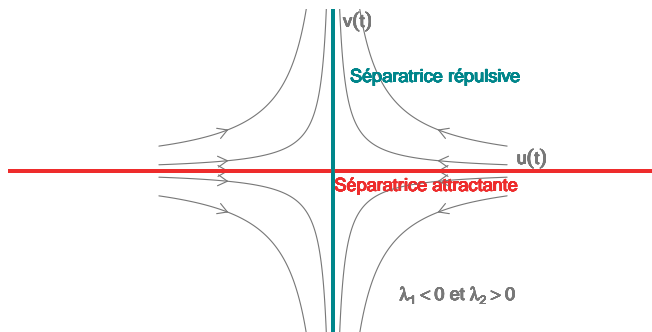
$\Rightarrow (0,0)$  est un **point selle**



## $\Delta > 0$ : $\mathbf{M}$ a 2 valeurs propres réelles distinctes de signe opposé

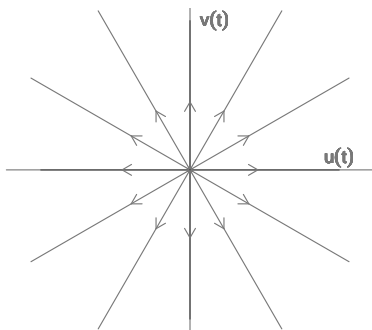
$(\lambda_1 < 0 \text{ et } \lambda_2 > 0)$  ou  $(\lambda_1 > 0 \text{ et } \lambda_2 < 0)$

$\Rightarrow (0,0)$  est un **point selle**



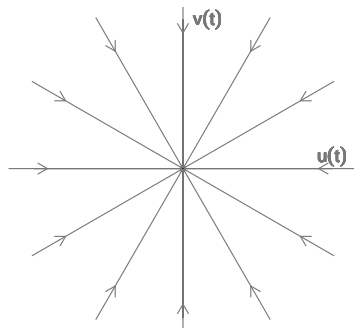
## $\Delta = 0$ : $\mathbf{M}$ a 1 valeur propre double et est **diagonale**

$\lambda_0 > 0 \Rightarrow (0,0)$  est une **étoile instable**



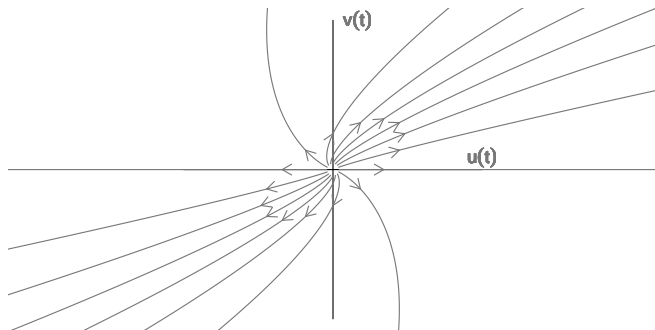
## $\Delta = 0$ : $\mathbf{M}$ a 1 valeur propre double et est diagonale

$\lambda_0 < 0 \Rightarrow (0,0)$  est une étoile asymptotiquement stable



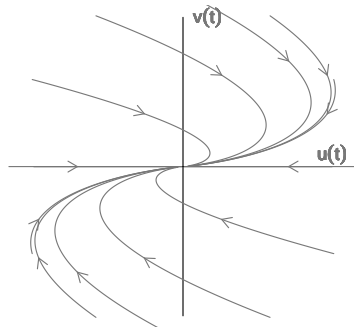
$\Delta = 0$  :  $\mathbf{M}$  a 1 valeur propre double et  $\mathbf{n}$ 'est pas diagonale

$\lambda_0 > 0 \Rightarrow (0,0)$  est un **noeud dégénéré instable**



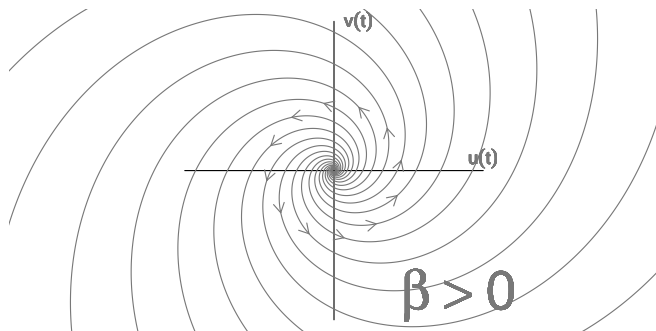
$\Delta = 0$  :  $\mathbf{M}$  a 1 valeur propre double et  $\mathbf{n}$ 'est pas diagonale

$\lambda_0 < 0 \Rightarrow (0,0)$  est un **noeud dégénéré asymptotiquement stable**



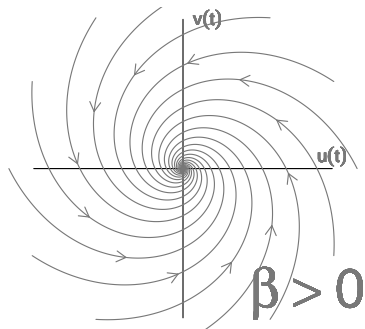
## $\Delta < 0$ : $\mathbf{M}$ a 2 valeurs propres complexes conjuguées

$\alpha > 0 \Rightarrow (0,0)$  est un **foyer instable**



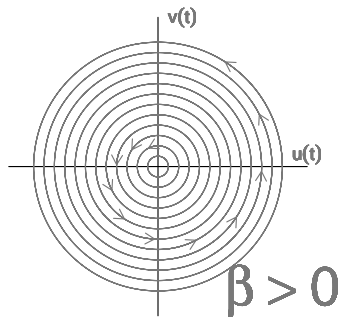
$\Delta < 0$  :  $\mathbf{M}$  a 2 valeurs propres complexes conjuguées

$\alpha < 0 \Rightarrow (0,0)$  est un **foyer asymptotiquement stable**



## $\Delta < 0$ : $\mathbf{M}$ a 2 valeurs propres complexes conjuguées

$\alpha = 0 \Rightarrow (0,0)$  est un **centre** (neutralement stable)



## Plan détaillé

### Les systèmes linéaires dans $\mathbb{R}^2$

Définitions

Équation caractéristique

Typologie des systèmes linéaires

En résumé

## Typologie des systèmes linéaires : en résumé

Soit un système linéaire du type

$$\begin{cases} \frac{du}{dt} = a_{11}u + a_{12}v \\ \frac{dv}{dt} = a_{21}u + a_{22}v \end{cases}$$

Ce système est équivalent au système  $\frac{d\mathbf{U}}{dt} = \mathbf{M}\mathbf{U}$ , où  $\mathbf{M}$  est la matrice Jacobienne du système définie par

$$\mathbf{M} = \begin{pmatrix} a_{11} & a_{12} \\ a_{21} & a_{22} \end{pmatrix}$$

## Typologie des systèmes linéaires : en résumé

- ▶ La nature du point d'équilibre  $(0,0)$  dépend du nombre, du type (complexe ou réelle), et du signe de la partie réelle des valeurs propres de la matrice Jacobienne  $\mathbf{M}$ .
- ▶ Ces valeurs propres sont solutions de l'équation caractéristique de  $\mathbf{M}$  :

$$\lambda^2 - \text{tr}(\mathbf{M})\lambda + \det(\mathbf{M}) = 0$$

- ▶ On distingue plusieurs cas selon le signe de

$$\Delta = (\text{tr}(\mathbf{M}))^2 - 4\det(\mathbf{M})$$

$$(\Delta > 0, \Delta = 0, \Delta < 0)$$

## Rappels sur le lien entre $\text{tr}(\mathbf{M})$ , $\det(\mathbf{M})$ et les valeurs propres

- ▶ Si  $\mathbf{M}$  admet deux valeurs propres réelles distinctes  $\lambda_1$  et  $\lambda_2$  :

$$\lambda^2 - \text{tr}(\mathbf{M})\lambda + \det(\mathbf{M}) = \mathbf{0} \Leftrightarrow (\lambda - \lambda_1)(\lambda - \lambda_2) = \mathbf{0}$$

$$\lambda^2 - \text{tr}(\mathbf{M})\lambda + \det(\mathbf{M}) = \mathbf{0} \Leftrightarrow \lambda^2 - (\lambda_1 + \lambda_2)\lambda + \lambda_1\lambda_2 = \mathbf{0}$$

On a donc 
$$\begin{cases} \text{tr}(\mathbf{M}) = \lambda_1 + \lambda_2 \\ \det(\mathbf{M}) = \lambda_1\lambda_2 \end{cases}$$

- ▶ Si  $\mathbf{M}$  admet une valeur propre double, on aura

$$\begin{cases} \text{tr}(\mathbf{M}) = 2\lambda_0 \\ \det(\mathbf{M}) = \lambda_0^2 > \mathbf{0} \end{cases} .$$

- ▶ Si  $\mathbf{M}$  admet deux valeurs propres complexes conjuguées

$$\lambda_{1,2} = \alpha \pm i\beta, \text{ on aura } \begin{cases} \text{tr}(\mathbf{M}) = 2\alpha \\ \det(\mathbf{M}) = \alpha^2 + \beta^2 > \mathbf{0} \end{cases}$$

## Typologie des systèmes linéaires : plan $(\text{tr}(\mathbf{M}); \det(\mathbf{M}))$

Du fait du lien avec les valeurs propres, on peut représenter dans le plan  $(\text{tr}(\mathbf{M}); \det(\mathbf{M}))$  les régions qui correspondent aux différents types de points d'équilibre.

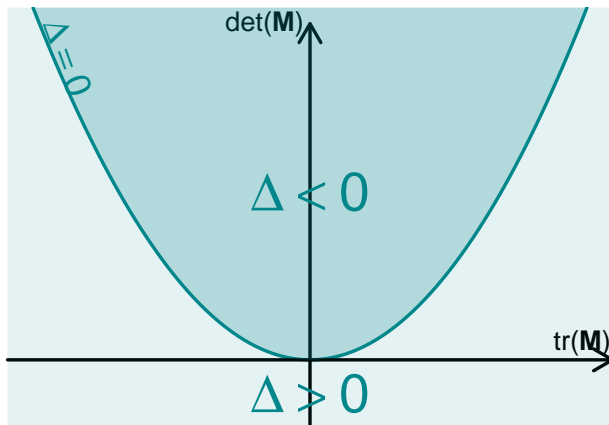
Le discriminant de l'équation caractéristique de  $\mathbf{M}$  est

$$\Delta = \text{tr}(\mathbf{M})^2 - 4\det(\mathbf{M})$$

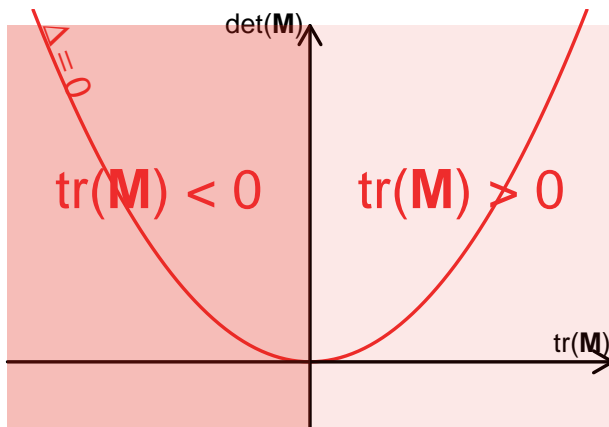
Donc la parabole d'équation  $\det(\mathbf{M}) = \frac{(\text{tr}(\mathbf{M}))^2}{4}$  délimite les régions du plan où :

- ▶  $\Delta > 0$  (en-dessous la parabole) ;
- ▶  $\Delta < 0$  (au-dessus de la parabole).

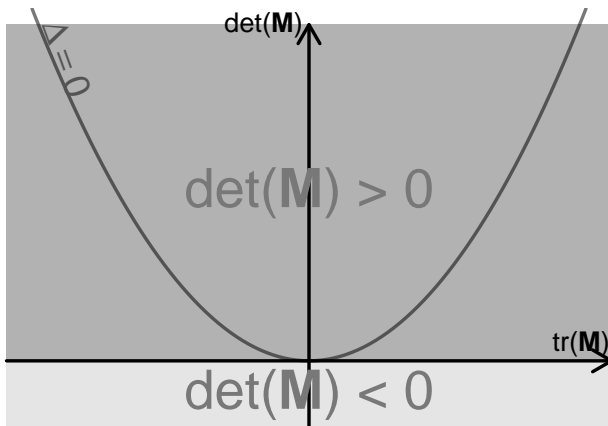
## Plan $(\text{tr}(\mathbf{M}); \det(\mathbf{M}))$



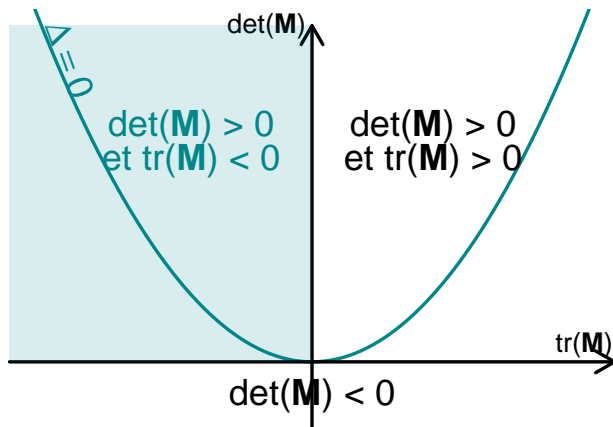
## Plan $(\text{tr}(\mathbf{M}); \det(\mathbf{M}))$ : signe de la trace



## Plan $(\text{tr}(\mathbf{M}); \det(\mathbf{M}))$ : signe du déterminant



## Plan $(\text{tr}(\mathbf{M}); \det(\mathbf{M}))$



## Plan $(\text{tr}(\mathbf{M}); \det(\mathbf{M}))$

$$\det(\mathbf{M}) = \lambda_1 \lambda_2$$

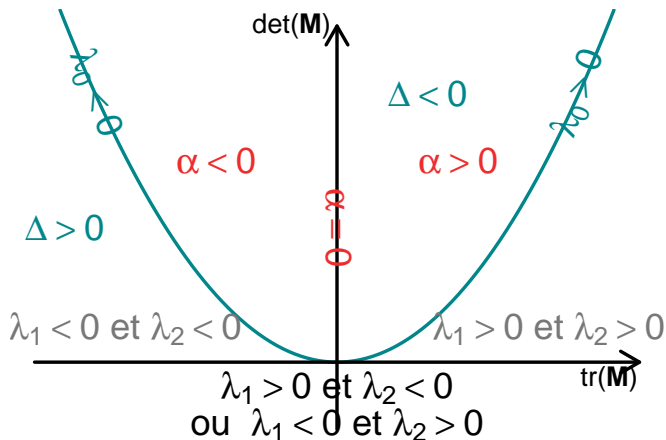
$$\text{tr}(\mathbf{M}) = \lambda_1 + \lambda_2$$

$$\det(\mathbf{M}) = \lambda_0^2 > 0$$

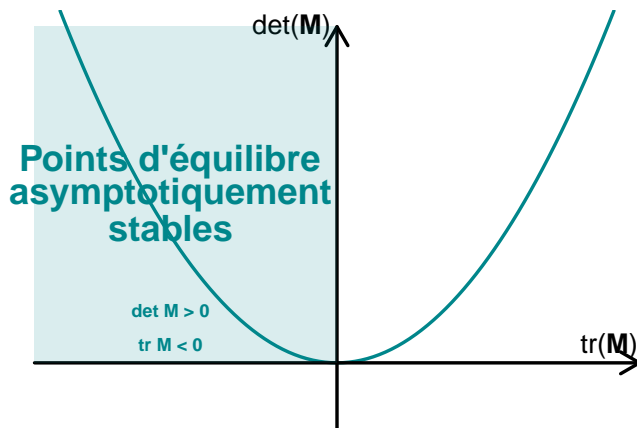
$$\text{tr}(\mathbf{M}) = 2\lambda_0$$

$$\det(\mathbf{M}) = \alpha^2 + \beta^2 > 0$$

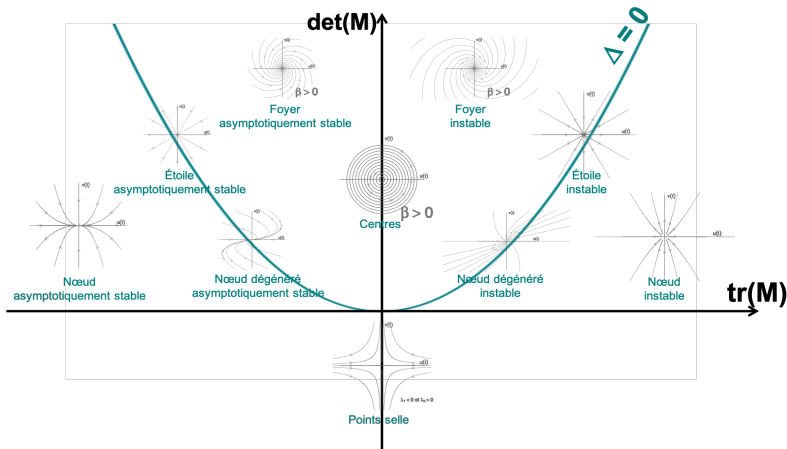
$$\text{tr}(\mathbf{M}) = 2\alpha$$



## Plan $(\text{tr}(\mathbf{M}); \det(\mathbf{M}))$



## Plan $(\text{tr}(\mathbf{M}); \det(\mathbf{M}))$



<https://is.gd/hWuo0A>

# Table des matières

Introduction : le modèle proies-prédateurs de Lotka-Volterra

Les systèmes linéaires dans  $\mathbb{R}^2$

Étude qualitative des systèmes non linéaires dans  $\mathbb{R}^2$

## Plan détaillé

### Étude qualitative des systèmes non linéaires dans $\mathbb{R}^2$

Retour au modèle de Lotka-Volterra

Isoclines et points d'équilibre

Stabilité des points d'équilibre

Jacobienne d'un système quelconque

Théorème de linéarisation

## Le modèle de Lotka-Volterra

### Rappel des équations

Le modèle de Lotka-Volterra est un modèle proies-prédateurs dont les équations sont :

$$\left\{ \begin{array}{l} \frac{dN}{dt} = rN \left( 1 - \frac{N}{K} \right) - \alpha NP \\ \frac{dP}{dt} = -\mu P + \beta NP \end{array} \right.$$

## Plan détaillé

### Étude qualitative des systèmes non linéaires dans $\mathbb{R}^2$

Retour au modèle de Lotka-Volterra

Isoclines et points d'équilibre

Stabilité des points d'équilibre

Jacobienne d'un système quelconque

Théorème de linéarisation

## Isoclines nulles

### Rappel

Soit un système dynamique d'EDO tel que

$$\begin{cases} \frac{dx}{dt} = f(x, y) \\ \frac{dy}{dt} = g(x, y) \end{cases}$$

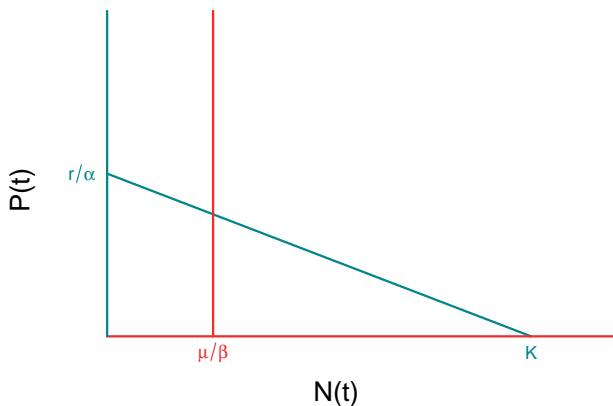
Dans le plan  $(x, y)$ , les isoclines nulles de ce système sont l'ensemble des points du plan qui vérifient :

$$\begin{array}{cc} \text{verticales} & \text{horizontales} \\ \frac{dx}{dt} = f(x, y) = 0 & \text{ou} \quad \frac{dy}{dt} = g(x, y) = 0 \\ \vec{v} \left| \begin{array}{c} 0 \\ \frac{dy}{dt} \end{array} \right. & \vec{v} \left| \begin{array}{c} \frac{dx}{dt} \\ 0 \end{array} \right. \end{array}$$

## Le modèle de Lotka-Volterra

Isoclines nulles dans le cas où  $\mu/\beta < K$

On se place dans le plan de phase  $(N, P)$ .



## Points d'équilibre

### Rappel

Soit un système dynamique d'EDO tel que

$$\begin{cases} \frac{dx}{dt} = f(x, y) \\ \frac{dy}{dt} = g(x, y) \end{cases}$$

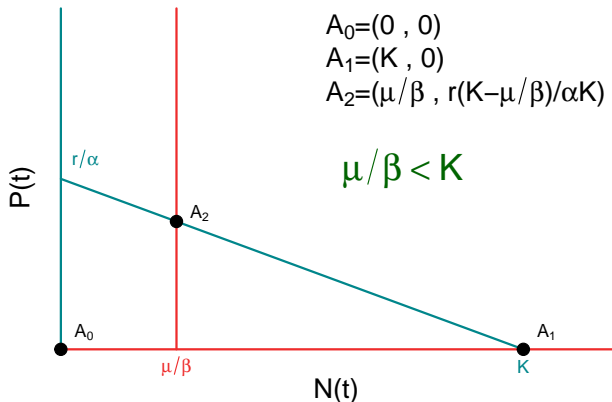
Un point d'équilibre de ce système est un point  $(x^*, y^*)$  qui vérifie :

$$\begin{cases} \left. \frac{dx}{dt} \right|_{x=x^*, y=y^*} = f(x^*, y^*) = 0 \\ \left. \frac{dy}{dt} \right|_{x=x^*, y=y^*} = g(x^*, y^*) = 0 \end{cases}$$

## Le modèle de Lotka-Volterra

Points d'équilibre dans le cas où  $\mu/\beta < K$

Les points d'équilibre sont à l'intersection des isoclines horizontales et verticales :



## Plan détaillé

### Étude qualitative des systèmes non linéaires dans $\mathbb{R}^2$

Retour au modèle de Lotka-Volterra

Isoclines et points d'équilibre

**Stabilité des points d'équilibre**

Jacobienne d'un système quelconque

Théorème de linéarisation

## Étude de la stabilité des points d'équilibre (1)

### Changement de variable

Soit un système dynamique d'EDO tel que

$$\begin{cases} \frac{dx}{dt} = f(x, y) \\ \frac{dy}{dt} = g(x, y) \end{cases}$$

possédant un point d'équilibre  $(x^*, y^*)$  dont on cherche la stabilité.

Il faut se ramener à ce que l'on connaît : les systèmes linéaires

⇒ On va donc **linéariser au voisinage du point d'équilibre**.

On introduit le changement de variable suivant :

$$\begin{cases} u(t) = x(t) - x^* \\ v(t) = y(t) - y^* \end{cases}$$

## Étude de la stabilité des points d'équilibre (2)

### Linéarisation au voisinage du point d'équilibre

On linéarise le système au voisinage du point d'équilibre en utilisant un développement de Taylor au premier ordre des fonctions  $f$  et  $g$  :

$$u(t) = x(t) - x^* \text{ et } v(t) = y(t) - y^*$$

$$\begin{cases} \frac{du}{dt} = \frac{dx}{dt} \simeq f(x^*, y^*) + \left. \frac{\partial f}{\partial x} \right|_{(x^*, y^*)} (x - x^*) + \left. \frac{\partial f}{\partial y} \right|_{(x^*, y^*)} (y - y^*) \\ \frac{dv}{dt} = \frac{dy}{dt} \simeq g(x^*, y^*) + \left. \frac{\partial g}{\partial x} \right|_{(x^*, y^*)} (x - x^*) + \left. \frac{\partial g}{\partial y} \right|_{(x^*, y^*)} (y - y^*) \end{cases}$$

$$\Leftrightarrow \begin{cases} \frac{du}{dt} \simeq \left. \frac{\partial f}{\partial x} \right|_{(x^*, y^*)} u + \left. \frac{\partial f}{\partial y} \right|_{(x^*, y^*)} v \\ \frac{dv}{dt} \simeq \left. \frac{\partial g}{\partial x} \right|_{(x^*, y^*)} u + \left. \frac{\partial g}{\partial y} \right|_{(x^*, y^*)} v \end{cases}$$

puisque  $f(x^*, y^*) = 0$  et  $g(x^*, y^*) = 0$ .

## Étude de la stabilité des points d'équilibre (3)

### Linéarisation au voisinage du point d'équilibre

Au voisinage du point d'équilibre  $(x^*, y^*)$ , le système

$$\begin{cases} \frac{dx}{dt} = f(x, y) \\ \frac{dy}{dt} = g(x, y) \end{cases}$$

est donc équivalent au système linéaire suivant :

$$\frac{d\mathbf{U}}{dt} = \mathbf{M}^* \mathbf{U}$$

$$\text{avec } \mathbf{M}^* = \begin{pmatrix} \left. \frac{\partial f}{\partial x} \right|_{\star} & \left. \frac{\partial f}{\partial y} \right|_{\star} \\ \left. \frac{\partial g}{\partial x} \right|_{\star} & \left. \frac{\partial g}{\partial y} \right|_{\star} \end{pmatrix}, \quad \mathbf{U}(t) = \begin{pmatrix} u(t) \\ v(t) \end{pmatrix}$$

$$u(t) = x(t) - x^* \quad \text{et} \quad v(t) = y(t) - y^*$$

## Plan détaillé

### Étude qualitative des systèmes non linéaires dans $\mathbb{R}^2$

Retour au modèle de Lotka-Volterra

Isoclines et points d'équilibre

Stabilité des points d'équilibre

Jacobienne d'un système quelconque

Théorème de linéarisation

## Jacobienne d'un système quelconque

Soit un système dynamique d'EDO tel que

$$\begin{cases} \frac{dx}{dt} = f(x, y) \\ \frac{dy}{dt} = g(x, y) \end{cases}$$

La matrice Jacobienne de ce système est définie par

$$\mathbf{M} = \begin{pmatrix} \frac{\partial f}{\partial x} & \frac{\partial f}{\partial y} \\ \frac{\partial g}{\partial x} & \frac{\partial g}{\partial y} \end{pmatrix}$$

## Le modèle de Lotka-Volterra

### Jacobienne (1)

Les équations du système sont

$$\begin{cases} \frac{dN}{dt} = rN \left(1 - \frac{N}{K}\right) - \alpha NP = f(N, P) \\ \frac{dP}{dt} = -\mu P + \beta NP = g(N, P) \end{cases}$$

La matrice Jacobienne de ce système est

$$\mathbf{M} = \begin{pmatrix} \frac{\partial f}{\partial N} & \frac{\partial f}{\partial P} \\ \frac{\partial g}{\partial N} & \frac{\partial g}{\partial P} \end{pmatrix}$$

## Le modèle de Lotka-Volterra

### Jacobienne (2)

On a

$$\begin{cases} f(N, P) = rN - \frac{rN^2}{K} - \alpha NP \\ g(N, P) = -\mu P + \beta NP \end{cases}$$

La matrice Jacobienne du système de Lotka-Volterra est donc :

$$\mathbf{M} = \begin{pmatrix} r - \frac{2rN}{K} - \alpha P & -\alpha N \\ \beta P & -\mu + \beta N \end{pmatrix}$$

## Plan détaillé

### Étude qualitative des systèmes non linéaires dans $\mathbb{R}^2$

Retour au modèle de Lotka-Volterra  
Isoclines et points d'équilibre  
Stabilité des points d'équilibre  
Jacobienne d'un système quelconque  
Théorème de linéarisation

## Théorème de linéarisation

Soit un système non linéaire  $\begin{cases} \frac{dx}{dt} = f(x, y) \\ \frac{dy}{dt} = g(x, y) \end{cases}$  admettant un point d'équilibre  $(x^*, y^*)$  et tel que  $\det(\mathbf{M}^*) \neq \mathbf{0}$ , où  $\mathbf{M}^*$  est la matrice Jacobienne du système au voisinage du point  $(x^*, y^*)$ .

Alors, dans le voisinage du point d'équilibre, les portraits de phase du système  $\begin{cases} \frac{dx}{dt} = f(x, y) \\ \frac{dy}{dt} = g(x, y) \end{cases}$  et de sa forme linéarisée  $\frac{d\mathbf{U}}{dt} = \mathbf{M}^* \mathbf{U}$  ont des points d'équilibre **de même nature**, sous réserve que le système linéarisé ne corresponde pas à des centres.

## Le modèle de Lotka-Volterra

### Théorème de linéarisation ( $A_0$ )

Cas où il existe trois points d'équilibre (cas  $\mu/\beta < K$ ).

La matrice Jacobienne du système est :

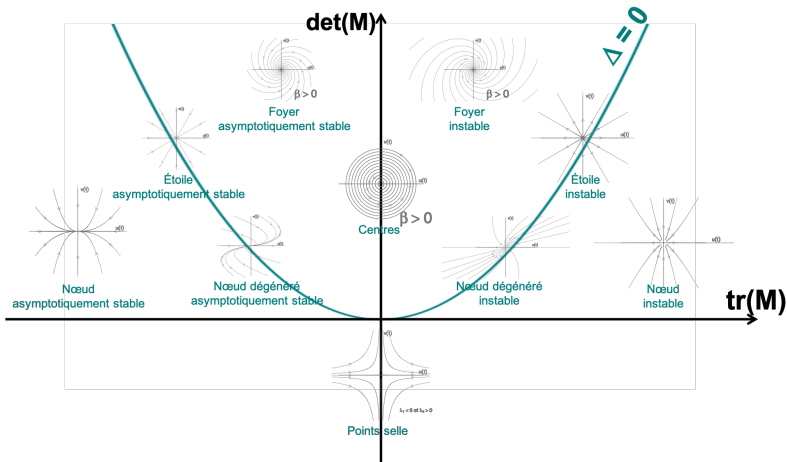
$$\mathbf{M} = \begin{pmatrix} r - \alpha P - \frac{2rN}{K} & -\alpha N \\ \beta P & \beta N - \mu \end{pmatrix}$$

Au point d'équilibre  $\mathbf{A}_0 = (\mathbf{0}, \mathbf{0})$ , la matrice Jacobienne s'écrit :

$$\mathbf{M}_{\mathbf{A}_0} = \begin{pmatrix} r & 0 \\ 0 & -\mu \end{pmatrix}$$

On a  $\det(\mathbf{M}_{\mathbf{A}_0}) = -r\mu < 0$ .

Donc le point d'équilibre  $\mathbf{A}_0 = (\mathbf{0}, \mathbf{0})$  est un **point selle**.



<https://lc.cx/pcbL>

## Le modèle de Lotka-Volterra

Théorème de linéarisation ( $A_1$ ) dans le cas où  $\mu/\beta < K$

Au point d'équilibre  $A_1 = (K, 0)$ , la matrice Jacobienne s'écrit :

$$M_{A_1} = \begin{pmatrix} -r & -\alpha K \\ 0 & \beta K - \mu \end{pmatrix}$$

On a  $\det(M_{A_1}) = -r(\beta K - \mu) < 0$  (car  $\beta K > \mu$ ).

Donc le point d'équilibre  $A_1 = (K, 0)$  est un **point selle**.

## Le modèle de Lotka-Volterra

Théorème de linéarisation ( $A_2$ ) dans le cas où  $\mu/\beta < K$

Au point d'équilibre  $\mathbf{A}_2 = \left(\frac{\mu}{\beta}, \frac{r(K - \frac{\mu}{\beta})}{\alpha K}\right)$ , les calculs se compliquent...  
Il faut se rappeler que les points d'équilibre sont à l'intersection des isoclines horizontales et verticales.

Ainsi pour  $\mathbf{A}_2$  :

$$\begin{cases} N = \frac{\mu}{\beta} \\ P = \frac{r}{\alpha} \left(1 - \frac{N}{K}\right) \end{cases}$$

On appelle ces équations **les conditions d'équilibre**.

## Le modèle de Lotka-Volterra

Théorème de linéarisation ( $A_2$ ) dans le cas où  $\mu/\beta < K$

Au point d'équilibre  $\mathbf{A}_2 = \left(\frac{\mu}{\beta}, \frac{r(K-\frac{\mu}{\beta})}{\alpha K}\right)$ , la matrice Jacobienne s'écrit donc :

$$\mathbf{M}_{\mathbf{A}_2} = \begin{pmatrix} -r\frac{N^*}{K} & -\alpha N^* \\ \beta P^* & 0 \end{pmatrix}$$

On a  $\det(\mathbf{M}_{\mathbf{A}_2}) = \alpha\beta N^* P^* > 0$  et  $\text{tr}(\mathbf{M}_{\mathbf{A}_2}) = -r\frac{N^*}{K} < 0$ .

Donc le point d'équilibre  $\mathbf{A}_2$  est **un nœud, un nœud dégénéré, ou un foyer asymptotiquement stable** selon le signe de :

$$\Delta = \text{tr}(\mathbf{M}_{\mathbf{A}_2})^2 - 4\det(\mathbf{M}_{\mathbf{A}_2})$$

## Le modèle de Lotka-Volterra

Portrait de phase dans le cas où  $\mu/\beta < K$

